

## II-34 合成斜桁橋(オ2潤川橋)の載荷試験 と二三の方法によるその解析

○ 熊本大学 正員 吉村虎蔵 熊本大学 正員 平井一男  
 神戸大学 正員 大村裕 九州地建正員 柳沢一誠  
 九州地建 正員 江崎正敏

斜桁橋の解析の方法として最近米国では、N.M.Newmark一派、本邦では成岡教授等が直交異方性板理論を用い、有意義な研究を進めつつあり、これららの研究については小型模型実験によって比較検討が行われているが、実在橋梁について実験値と理論値との比較検討は行われていない。このような事情であるので、本橋の載荷試験結果を種々の解析法による理論値と比較検討し、合成斜桁橋の力学的性状の一部を究明することは有意義なことと考える。本橋は支間24.70m、有効巾員9.50m、斜角41°、主桁数4本の合成斜桁の一等橋で、実験は次の3種に大別して行なわれた。(1)床版コンクリート重量による鋼斜桁橋の応力撓みの測定。(2)自動車荷重による静的応力撓みの実験。(3)走行自動車による動的応力撓みの実験。

### §1 実験方法

本橋の骨組図を図-1に示す。また応力撓みの測定は、各主桁の $\frac{L}{2}$ ,  $\frac{L}{3}$ ,  $\frac{L}{4}$ 点に3点、計12点を設け、各主桁の $\frac{L}{2}$ ,  $\frac{L}{3}$   
 $\frac{L}{4}$ 点に3点、計12点を設け、測点名を図-1に併記した。

床版コンクリート(厚18cm)打設による鋼桁の撓みは、杭を固定点として120mmよみののぎすを使用して測定した。この場合の応力はカールソン型歪計によって測定した。なお鋼桁の温度分布の変化が、応力撓みの測定結果の検討に必要であるから、温度分布を鉄コンスタンタン熱電対によって測定した。

自動車静荷重による撓みは、100mmよみダイヤルゲージと試作の変位計を併用した。走行荷重による動的撓みは、試作変位計によって、A, B, C, D桁の $\frac{L}{2}$ 点の4変位とワイヤーゲージ2個を同

図-1 骨組図

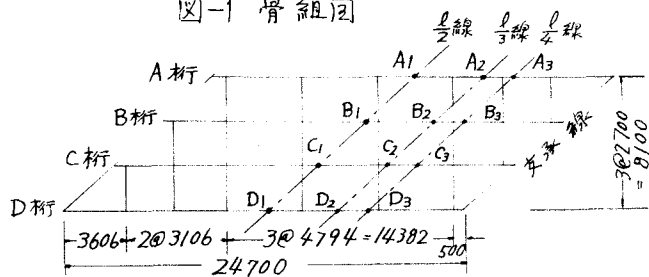
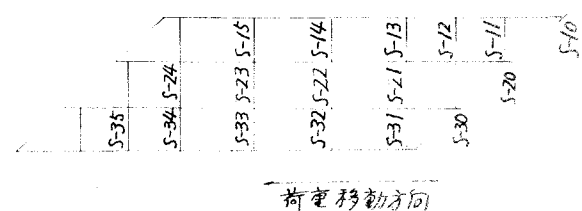
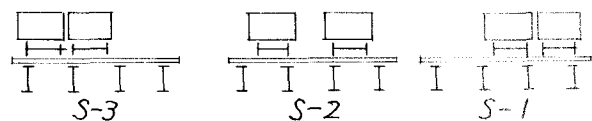


図-2 自動車載荷要領



時に電磁オシログラフで記録した。静荷重応力の測定にあたっては、鋼主桁断面（前記挿みの測定断面において上突縁、腹板、下突縁）にワイヤーゲージを貼り布し、横桁の一部にも測定を迷んだ。下突縁には特に2枚のゲージを異種の接着剤で接着し、測定の正確を期した。使用計器は共和無線SM歪測定器（24点切替）、新興通信PS歪測定器（10点切替）を用い、動的現象の測定には、共和無線DM6Eを用いた。

自動車静荷重試験には図-2のS-1, S-2, S-3の3種の荷重配置を選び、これら2台の自動車（1台総重量17.1t）を並行して移動させ、後輪を構架上に停止せしめた。その荷重名を図-2の如く与えた。

### 3.2 実験結果と理論値との比較

床版重量による応力挿みの実験結果、動荷重試験および自動車静荷重試験の詳細は本稿では省略するが、静荷重試験における歪の測定誤差は $0 \sim 3 \times 10^{-6}$ であつてすぐれた結果を得ることができた。これららの応力測定結果から主桁、横桁の合成断面の重心を求めたところ、桁は舗装コンクリートを含めた( $18+5=$ )23cm厚のコンクリート版が鋼桁と合成して併いていることが判明した。コンクリートのヤング率は $263 \times 10^5 \text{ kg/cm}^2$ であった。これらの合成断面2次モーメントを用いて、次の数種の解析を行い、実験値と比較した。(1)主桁を変断面単純梁とした場合、(2)図-1の斜格子桁として挿みの影響を無視し、モーメント分配法（計算の精度をあげたため筆者の一人吉村の部材列バランス法を採用）による解析、(3)直交異方性板理論を用い、支間方向を8等分、中央方向を6等分して解いた場合の3者と実測応力挿みを比較し、応力に対しては上表を得た。（S-2のサについて記し、他の測定については省略）

### 3.3 結び

表に示すように単桁計算によればB桁、C桁には他の桁の2倍位の荷重が併き、このためB桁あるいはC桁には他の桁の2倍位の応力挿みが生ずべきであるが、耳桁の応力比、挿み比が100%近い値を示すに対して、中桁のそれらは40~60%となっている。しかるに格子理論あるいは板理論では、耳桁、中桁相互の応力比・挿み比がいずれも一様に近い比率を示し、その理論の妥当なことが知られた。また、本橋は格子理論では9元の方程式を2回、板理論では24元と25元を解く必要があるので、本橋の如く、格子数の少い斜格子桁の解析には、格子理論も一つの有力な解析法であらうことかうかがわれる。

表-1  $\frac{l}{2}$  点下突縁応力と応力比

測定	A <sub>1</sub>	B <sub>1</sub>	C <sub>1</sub>	D <sub>1</sub>				
荷重	測定 応力 値 kg/cm <sup>2</sup>	単 格 子 板 応 力 比 kg/cm <sup>2</sup>						
S-13	166	.82 .84 .73	90 .39 .76 .66	50 .102 .74 .76	40 - .70 .77			
S-14	162	.89 .84 .73	141 .44 .76 .76	88 .91 .86 .85	55 - .75 .77			
S-15	78	.92 .74 .62	63 .29 .64 .59	86 .80 .84 .88	48 - .75 .67			
S-21	99	.91 .77 .67	57 .38 .65 .59	40 .44 .76 .63	36 - .66 .61			
S-22	101	1.03 .76 .68	101 .48 .68 .68	95 .53 .84 .75	70 .111 .70 .65			
S-23	57	1.24 .66 .60	53 - .57 .55	105 .52 .72 .76	105 .95 .76 .67			
S-24	23	- .59 .56	17 .25 .42 .39	42 .39 .59 .58	86 .90 .83 .72			
S-31	36	- .50 .56	46 .56 .79 .77	36 .26 .92 .65	44 .136 .82 .65			
S-32	48	- .70 .65	90 .80 .78 .80	109 .39 .86 .70	120 .92 .82 .70			
S-33	42	- .61 .64	61 .80 .70 .71	141 .45 .75 .78	183 .89 .87 .76			
S-34	25	- .58 .47	32 .113 .63 .65	61 .36 .62 .61	139 .79 .85 .75			
応力比平均	97.69	.63	.63 .70 .65	.55 .77 .71	.98 .77 .70			